

JUNIO 2025  
Vol.06

BOLETÍN MENSUAL  
VIGILANCIA DEL OZONO  
ATMOSFÉRICO EN EL  
OBSERVATORIO DE  
VIGILANCIA  
ATMOSFÉRICA  
MARCAPOMACOCHA





## Introducción

El ozono protege cerca del 98% de la radiación solar que recibe la Tierra. Ahora bien, la capa de ozono sufre un deterioro natural, pero la acción del ser humano ha hecho que este desgaste avance más rápidamente de lo que debería.

A lo largo de la capa de ozono, científicos encontraron ciertos puntos donde la densidad de esta era muy inferior a lo normal, permitiendo la entrada de mayor radiación. Esta radiación influía directamente sobre la Tierra, provocando lo que conocemos actualmente como Efecto Invernadero. Los “agujeros” en la capa de ozono se encontraron sobre todo en el polo norte, esto porque los países más desarrollados y contaminantes se encuentran en este hemisferio.

Asimismo, las investigaciones llegaron a la conclusión de que se dieron las condiciones propicias para la producción de clorofluorocarbonos. Este elemento se encuentra en los aerosoles y las refrigeradoras industriales o fungicidas. Su uso provoca una destrucción 50 veces más rápida de la capa de ozono que de forma natural.

Debido a estos procesos que ocurren en la atmósfera el Perú, como país miembro del Protocolo de Montreal, viene reduciendo poco a poco el consumo de los productos químicos que destruyen la capa de ozono y además por intermedio del SENAMHI viene monitoreando el estado de la capa de ozono en la región central del país con la finalidad de alertar a la comunidad científica nacional e internacional sobre su variabilidad temporal y posible deterioro, así como su relación con los cambios climáticos que se vienen registrando en el mundo.

\*\*\*\*\*

## ANTECEDENTES

El SENAMHI cuenta con el Observatorio de Vigilancia Atmosférica (OVA) Marcapomacocha, ubicada en la sierra central del país (provincia de Yauli y departamento de Junín), asimismo, se encuentra a una altitud de 4,479 metros sobre el nivel del mar, a una latitud de 11°24'18" S y longitud de 76°19'31" O. Es una de las pocas estaciones a nivel mundial cercanas a la línea ecuatorial y en un medio natural megadiverso. A nivel sudamericano conjuntamente con las estaciones VAG de Natal (Brasil) y Chacaltaya (Bolivia) son las que reportan información continua de las propiedades físicas y químicas de la atmósfera en esta parte del continente. Las actividades del OVA Marcapomacocha se enmarcan en las mediciones de la concentración de ozono total atmosférico en forma diaria realizadas con el Espectrofotómetro Dobson el cual contribuye con el Programa de Vigilancia de la Atmósfera Global – VAG de la Organización Meteorológica Mundial – OMM. Otras variables como la radiación ultravioleta, radiación solar global y parámetros meteorológicos también se vienen midiendo en dicho observatorio.

Con las mediciones realizadas desde 1964 en el Perú, se ha podido conocer el estado y evolución del espesor de la capa de ozono sobre el territorio peruano y en general sobre la porción de la atmósfera tropical sobre el continente sudamericano.

En el futuro el OVA Marcapomacocha también podrá realizar mediciones de dióxido de carbono (CO<sub>2</sub>) (gas de efecto invernadero) y carbono negro (hollín).

\*\*\*\*\*

# I. CÁLCULO DEL OZONO ATMOSFÉRICO Y FUNCIONAMIENTO DEL ESPECTROFOTÓMETRO DOBSON

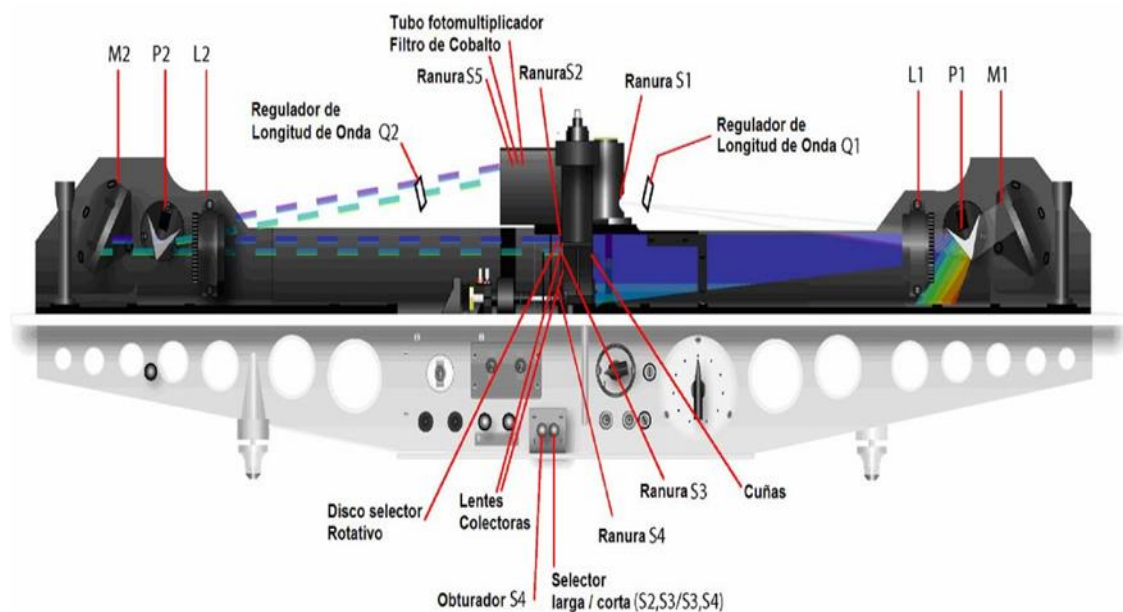
## 1. MEDICIÓN EN SUPERFICIE

El instrumento que permite medir las concentraciones de ozono total atmosférico se denomina Espectrofotómetro Dobson. Aunque las mediciones se realizan en forma indirecta porque lo que se mide son las intensidades relativas, de un par de longitudes de ondas (LDO), seleccionadas de antemano, siendo estas generadas y emanadas por el Sol o simplemente por el Zenith del cielo.

Su funcionamiento se basa en que la luz ingresa al instrumento a través de una ventana que se encuentra en la parte superior del mismo y después de su reflexión en un prisma incide en una ranura S1 (Figura 1) la cual consiste en un lente de cuarzo que hace que la luz sea paralela, un prisma que descompone la luz y un espejo que refleja la luz haciéndola volver al prisma y las lentes de tal manera que forma un espectro en el plano focal del instrumento. Las longitudes de onda que están involucradas se aíslan por medio de las ranuras S2, S3 y S4.

**FIGURA N°1**

**Funcionamiento del Espectrofotómetro Dobson**



\*\*\*\*\*

En la base o parte inferior del espectrofotómetro se encuentran dos palancas de obturación. La palanca S4 que se encuentra a la izquierda, se utiliza solamente cuando se realizan las pruebas, test o calibraciones al espectrofotómetro y deben ser introducidas en el instrumento, cuando se realicen las mediciones de ozono.

La selección de las longitudes de onda A, B, C o D cuando se efectúen las medidas de ozono se logra rotando las palancas a las posiciones Q1 y Q2 de acuerdo a la tabla Q propia del instrumento.

La cuña óptica se encuentra dentro del instrumento frente a la ranura S3. La posición de la cuña óptica se controla a través de un disco graduado que se encuentra en la parte superior del instrumento.

En cualquier posición del disco, la intensidad de la luz que pasa a través de la cuña óptica se reduce, la cual es determinada durante la calibración del instrumento.

Las intensidades relativas de las dos longitudes de onda en las cuales se efectúan las observaciones pueden obtenerse a partir de la lectura de la posición de equilibrio del disco y las tablas de calibración provistas con el instrumento.

## **2. MEDICIÓN DESDE SATÉLITE**

Uno de los satélites que mide en forma continua la concentración de ozono es el satélite AURA el cual dispone de cuatro instrumentos para la medición de la tropósfera superior, estratósfera y mesósfera. El instrumento de monitoreo de ozono (OMI) continúa los 34 años de observación del ozono que comenzaron con el detector ultravioleta de retrodispersión (Backscatter Ultraviolet Detector, BUV) en 1970 y el espectrómetro de representación de la distribución de ozono total (Total Ozone Mapping Spectrometer, TOMS), en 1978. El OMI mide la luz solar reflejada y retrodispersada en las porciones ultravioleta y visible del espectro. Las capacidades hiperespectrales del instrumento (recopilación y procesamiento de la información a lo largo de todo el espectro electromagnético) mejoran la precisión y exactitud de las cantidades de ozono total.

\*\*\*\*\*

## II. RESULTADOS

En el mes de junio la estratósfera baja de la región tropical ha registrado características térmicas con una tendencia al calentamiento, acercándose mucho a sus valores climáticos, con excepción de la capa de 100 hPa donde estuvieron por debajo de los mismos, debido todavía a valores moderados de vapor de agua. A su vez en la estratósfera media se registraron valores por debajo de sus valores climáticos y con tendencia al descenso térmico. En la estratósfera alta el régimen térmico estuvo también por debajo de sus valores normales con tendencia al enfriamiento. En superficie, las concentraciones de ozono registraron valores algo similares al mes pasado, a nivel de promedio mensual, mientras que en lo que respecta a valores extremos, también presentaron cierta tendencia con diferencia entre ellas entre 0.5 UD y 0.8 UD respectivamente, los cuales han estado asociados mayormente a un incremento en la temperatura de la estratósfera baja, así como al ingreso de vientos mayormente del oeste, en ciertas ocasiones del noroeste, desde latitudes bajas tanto del hemisferio sur como del hemisferio norte, hacia nuestras latitudes. La relación de mezcla de ozono, registró una cierta similitud con respecto al mes anterior, pero con una ligera tendencia al incremento el cual también ayudó a que las concentraciones de ozono atmosférico promedios del mes, sean similares al mes anterior.

En lo que respecta específicamente al flujo de vientos, éstas tuvieron un comportamiento mayormente del oeste (segundo y tercer cuadrante) en la estratósfera baja mientras que en la estratósfera media fueron netamente del este (primer y cuarto cuadrante). Al igual que en la capa anterior, en la estratósfera alta los flujos fueron prácticamente del primer y cuarto cuadrante o sea del este. En ese sentido, en la estratósfera baja es donde se realizaron algunos aportes de ozono atmosférico hacia nuestras latitudes.

En el caso de la alta tropósfera, los sistemas atmosféricos característicos del cambio de estación astronómica, como el Anticiclón del Pacífico Sur y el Jet en bajo Niveles, permitieron todavía el traslado de moderadas cantidades de humedad hacia nuestro país a pesar de encontrarnos en la finalización del otoño e inicio del invierno, ocasionando una incidencia en el comportamiento del ozono atmosférico, por lo menos en la baja estratósfera. Desde el inicio de la estación de otoño en el hemisferio austral, la humedad atmosférica ha empezado a disminuir entre la alta tropósfera y baja estratósfera, para dar paso a condiciones relativamente secas teniendo incidencia en las concentraciones de ozono en esos lugares y en dichas capas de la atmósfera. La convección húmeda mínima ha continuado registrándose, como hace varios meses, en la región norte del país (específicamente en el departamento de Tumbes) debido a la invasión de masas de agua cálidas provenientes del hemisferio norte como producto de la

\*\*\*\*\*

disminución en intensidad de los vientos alisios, los cuales han sido frecuentes en parte del mes, pero con menor intensidad, presentando incidencias no solo en la circulación de los vientos de la atmósfera baja y media sino también en la atmósfera alta. Se debe tener presente que estos procesos, así como la presencia todavía de concentración de humedad moderada (con tendencia a seguir disminuyendo) en la baja y media estratósfera (100 hPa y 70 hPa) llegan a tener repercusión en las propiedades físicas y químicas de dicha capa, permitiendo obtener valores de ozono atmosférico algo similares al mes pasado, con una ligera tendencia a la disminución, aunados a la circulación de los vientos en dichas capas.

Un parámetro que conviene resaltar y que influye en el comportamiento del ozono es la denominada Oscilación Quasi Bienal (QBO siglas en inglés) el cual domina la variabilidad de la estratósfera ecuatorial (16 – 50 km) y fácilmente puede verse como regímenes de vientos del este y del oeste que se propagan hacia abajo (niveles inferiores de la atmósfera), con un periodo variable que puede estar entre los 28 meses. Su estudio es inseparable de los movimientos de las ondas atmosféricas que lo impulsan y modulan. Los efectos de la QBO no se limitan a la dinámica atmosférica. Los componentes químicos como el ozono, vapor de agua, óxido nitroso, ácido clorhídrico y el metano, se ven afectados por los cambios de circulación inducidos por la QBO (mezcla de ozono estratosférico por la circulación secundaria).

Es importante tener en cuenta que esos regímenes de circulación, así como los procesos que involucran el inicio de la estación del invierno austral, interactúan entre sí en las diferentes capas de la atmósfera, permitiendo una disminución en el transporte de calor o energía. En ese sentido, se analiza la capa de 70 hPa (día 22 de junio) dado de que es representativa de la baja estratósfera. A lo largo del mes, climáticamente sobre nuestras latitudes, las concentraciones de ozono empiezan a registrar un comportamiento similar al mes de mayo debido a la aparición de vientos zonales o cuasi zonales, pero con menor persistencia, los cuales aportan bajas concentraciones de ozono atmosférico sobre nuestras latitudes. Durante, el mes de junio del presente, los vientos fueron mayormente del oeste en la estratósfera baja con predominancia del segundo y tercer cuadrante principalmente para luego ser netamente predominante del este, en la estratósfera media, con temperaturas (estratósfera baja) ligeramente superiores al mes anterior. Cabe mencionar que también se registraron vientos bastante esporádicos del noreste y sureste, los cuales aportaron bajas cantidades de ozono atmosférico. En este mes, prácticamente, no se registraron núcleos anticiclónicos, en esta parte del hemisferio, por lo que permitieron un ingreso de masas de aire mayormente del oeste.

En latitudes medias y altas del hemisferio sur, la circulación de vientos ha continuado siendo zonal positivo (70 hPa), pero de moderada a alta intensidad, aportando concentraciones relativamente altas en latitudes medias pero bajas en

\*\*\*\*\*

latitudes altas debido a la formación del vórtice polar, aunados a la disminución de las temperaturas.

En cuanto al régimen térmico (latitudes 25°N – 25°S), se puede señalar lo siguiente: en la estratósfera baja se ha observado comportamientos con tendencia al ascenso, pero aún por debajo de sus valores normales como en el caso de la capa de 100 hPa, mientras que, en las capas de 70 hPa y 50 hPa, han continuado comportándose dentro de sus valores climáticos. Los causales podrían ser; la moderada actividad fotoquímica, la disminución de la humedad atmosférica y la baja relación de mezcla. En lo concerniente al nivel de la estratósfera alta, el régimen térmico, más bien han continuado disminuyendo con respecto al mes pasado, pero siempre muy por debajo de sus valores climáticos. En los niveles de 30 hPa y 10 hPa (estratósfera media) registraron una tendencia al descenso, pero por debajo de sus valores climáticos. Para el caso de los niveles de 5 hPa, 2 hPa y 1 hPa, el comportamiento estuvo también muy por debajo de sus valores climáticos. A pesar de todo este comportamiento en la estratósfera, las concentraciones de ozono lograron registrar valores algo similares a nivel promedio mensual, con respecto al mes pasado, en la región tropical, el cual estaría relacionado por la disminución de la humedad en la atmósfera, especialmente en la capa de 100 hPa y 70 hPa. El comportamiento térmico en la baja estratósfera estaría relacionado por la presencia de vientos mayormente del segundo y tercer cuadrante. En la alta estratósfera todos los flujos de viento fueron del este con temperaturas muy por debajo de sus valores climáticos. En el caso de Perú, de acuerdo a la información de superficie, las concentraciones de ozono en este mes han registrado valores algo similares al mes pasado (a nivel promedio mensual), con una ligera tendencia a la disminución. Cabe enfatizar que tanto los valores mínimos y máximos diarios de ozono sobre nuestro país, en este mes, fueron ligeramente inferiores. La amplitud entre dichos valores en junio, han oscilado entre 7 UD a 8 UD con respecto al mes pasado. Figura 3.

Con el fin de sustentar lo descrito a nivel de baja estratósfera, podemos mencionar que, de la vigilancia realizada en el mes de junio a nivel de superficie, en el Observatorio de Vigilancia Atmosférica (OVA) Marcapomacocha se observó que el comportamiento horario de la concentración de ozono atmosférico en general, estuvo oscilando entre 235.0 UD y 248.7 UD (UD = Unidades Dobson). Como se indicó anteriormente, a nivel promedio mensual fue similar.

Es importante señalar que en las primeras horas del día las concentraciones de ozono son relativamente altas debido al ozono acumulado en horas de la noche (en junio, climáticamente, se registran valores de ozono similar a mayo) y a medida que transcurren las horas hasta llegar al mediodía los valores empiezan a disminuir para luego en horas de la tarde volver a incrementarse. A veces el comportamiento es algo variable tanto en la mañana como en la tarde, pero siempre con la misma tendencia (disminuye y luego aumenta).

\*\*\*\*\*

Este proceso físico, se enmarca en que durante las primeras horas de la mañana la incidencia de la radiación ultravioleta, en esta temporada, tiende a mantener valores algo menores, por ende las concentraciones de ozono serán relativamente moderadas (debido al ozono residual), a medida que la intensidad de la radiación ultravioleta se incrementa en forma paulatina hacia el mediodía, donde los valores son entre Altos a Muy altos en el mes de junio (en los meses de verano son mayores), permite una reducción del ozono (mayor actividad fotoquímica) y en horas de la tarde a medida que el sol va llegando al ocaso (disminución de la intensidad de la radiación solar) las concentraciones de ozono vuelven a incrementarse. Este comportamiento horario también va a depender de otros factores como los ambientales (reacciones químicas durante el día, de compuestos o gases generadores de ozono troposférico) y meteorológicos (transporte de ozono de y hacia otras latitudes). Un punto importante a remarcar es el proceso de formación y destrucción del ozono por efectos fotoquímicos, mientras que la intensidad de la radiación solar se incrementa, dicha actividad será mayor y viceversa. En el periodo analizado, la intensidad de la radiación ultravioleta ha seguido mostrando una disminución debido al inicio de la estación de invierno, desde el 21 de junio. En todo el país se han registrado disminuciones en los valores de radiación ultravioleta asociados a valores bajos de ozono atmosférico, así como a la disminución de la actividad fotoquímica. La cantidad de aerosoles ha mostrado una tendencia al descenso, aunque en algunas regiones se ha mantenido similar al mes pasado debido todavía a algunos procesos físicos como la circulación de los vientos transportando todavía bajas concentraciones de vapor de agua, permitiendo una mayor transparencia atmosférica, principalmente en la región andina. Se espera que en el mes siguiente dichos valores de radiación, continúen disminuyendo debido al establecimiento de la estación de invierno.

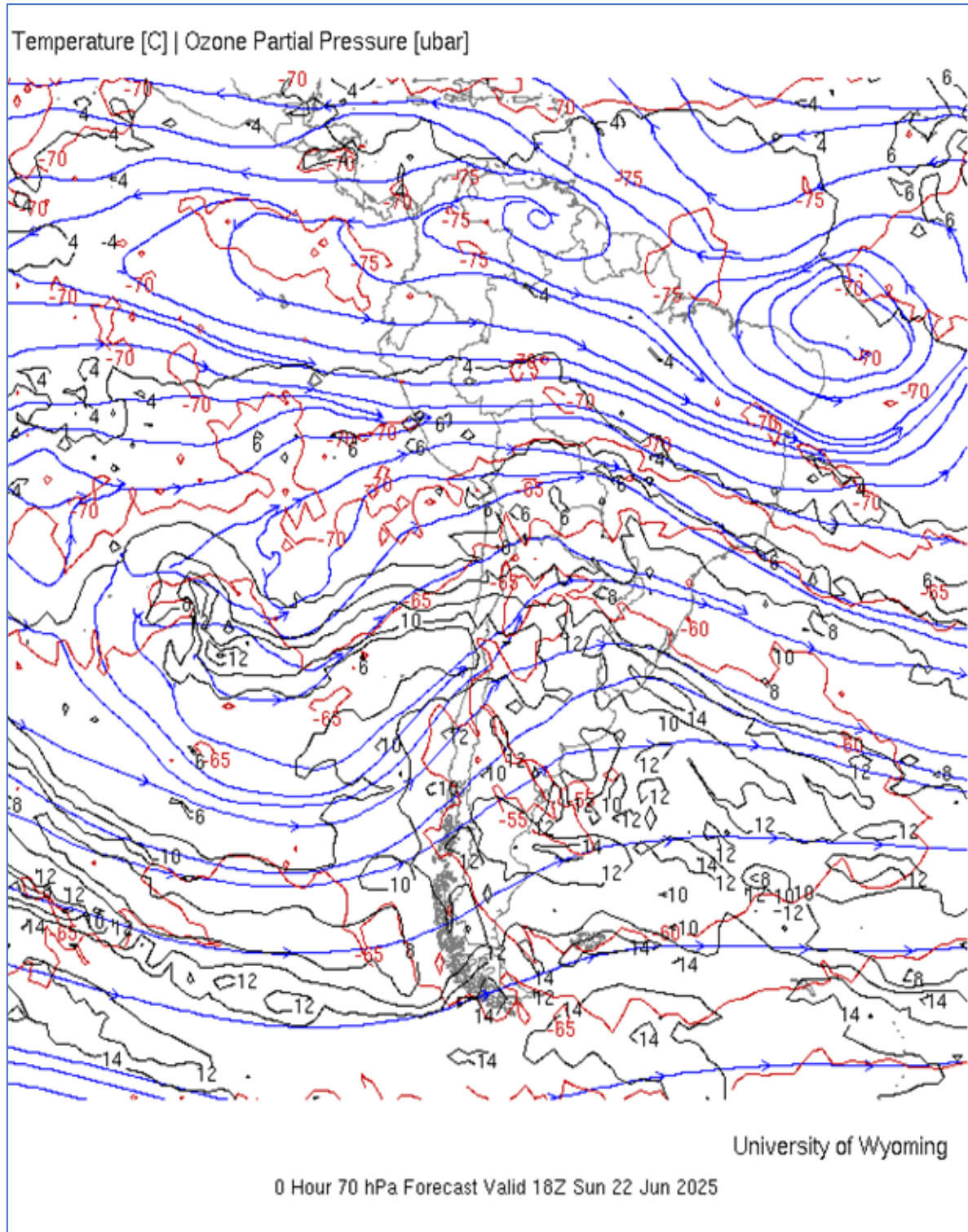
Parte de la humedad de la tropósfera también se distribuye en la baja estratósfera permitiendo una menor formación de ozono atmosférico, especialmente a nivel de 100 hPa.

\*\*\*\*\*

**FIGURA N°2**

Flujos de masas de aire zonales en la región tropical

Fuente: Weather Service de la University of Wyoming



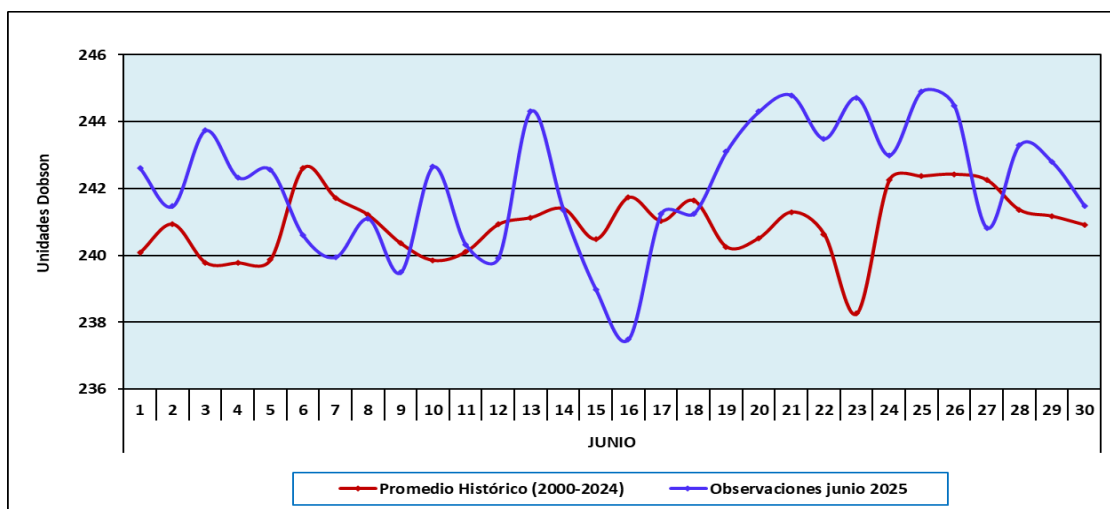
\*\*\*\*\*

El comportamiento de la concentración de ozono atmosférico promedio diario mensual multianual (2000-2024) del mes de junio oscila entre 238.3UD y 242.6 UD aproximadamente (Figura 3), mientras que los medidos en el mes de junio del presente año, oscilaron entre 237.5 UD y 244.9 UD.

En la figura, se aprecia que los valores registrados en el presente mes, estuvieron un 67% por encima de sus valores climáticos, mientras que un 33% por debajo (se observa un desfase de hasta 6 UD entre el valor histórico y el registrado durante el mes de junio del presente año).

Cuando se comparan ambas series se ha venido observando, como siempre, un comportamiento variable, con valores que en algunos momentos se acercan a sus normales. Por ejemplo, durante el mes el comportamiento entre ambas series ha sido variable, por algunos momentos los valores medidos en junio del presente se acercaron a sus valores normales mientras que en otros se alejaron, atribuibles probablemente por los cambios en los flujos de viento, los cuales han sido mayormente del segundo y tercer cuadrante aunados a la cantidad de vapor de agua emitida a la atmósfera por el volcán Hunga Tonga en el Pacífico Sur, en enero de 2022, el cual se piensa, va originando también efecto en latitudes bajas muy aparte de las medias y altas del hemisferio sur. Las concentraciones de ozono sobre nuestro país, con respecto al mes de mayo ha registrado valores similares.

**FIGURA °3**  
**Comportamiento temporal de la concentración de ozono atmosférico en el OVA Marcapomacocha. Junio 2025.**



Es importante conocer también la variación temporal multianual de la concentración de ozono (climático) y poder relacionarlos con los procesos que generan los diferentes sistemas atmosféricos que gobiernan sobre nuestro país. En el OVA Marcapomacocha se presentan dos picos, uno en el mes de marzo con un valor de 244.5 UD y el otro, mucho mayor, en el mes de setiembre con un valor de 251.3 UD. Por otro lado, los valores bajos de ozono se registran climáticamente en los meses de enero con valores de 242.2 UD y otro entre los meses de mayo y junio

\*\*\*\*\*

con valores de 240.9 UD y 240.8 UD respectivamente. El promedio mensual de ozono en el presente mes fue de 242.1 UD superior en 1.3 UD al promedio mensual multianual (240.8 UD).

Se debe tener presente que, en la región tropical durante los meses de la estación de otoño, vale decir desde el 21 de marzo hasta el 30 de junio, las concentraciones de ozono tienden al descenso (climáticamente), en un primer momento, debido a factores astronómicos, así como a procesos de la circulación a nivel de estratósfera media y alta (vientos del este mayormente, así como una baja relación de mezcla) y una baja actividad fotoquímica. La circulación de los vientos, a nivel vertical, desde la tropósfera hacia la estratósfera permite el traslado de cantidades de ozono los cuales a lo largo de los meses lo van redistribuyendo hacia latitudes mayores (Circulación Brewer-Dobson), permitiendo un déficit de ozono atmosférico (los más bajos del año) en latitudes bajas (enero, así como en los meses de mayo-junio). Esta circulación está conducida por ondas atmosféricas lo cual puede ser acelerada por el cambio climático repercutiendo en la distribución global de las concentraciones de ozono. En el mes de junio, se ha empezado a registrar masas de aire provenientes principalmente del segundo y tercer cuadrante al nivel de 70 hPa, ósea vientos del noroeste y oeste (traslado bajo de ozono). Claro está que también se registraron vientos de otras direcciones (pero con menor persistencia), como por ejemplo del sureste y noreste, trasladando bajas concentraciones de ozono atmosférico, lo que, en resumidas cuentas, hicieron que se registre valores parecidos al mes anterior, con una ligera disminución, sobre nuestras latitudes.

Los procesos de advección húmeda han continuado siendo bajos en junio, con excepción de lo ocurrido en la zona norte del país (departamento de Piura), donde se han venido registrando invasiones de masas de agua cálidas provenientes del Pacífico norte, pero de menor intensidad durante parte del mes, debido a la disminución de los vientos alisios manteniendo condiciones de moderada humedad en toda esa región. Probablemente se haya registrado algún proceso de advección húmeda tropósfera-estratósfera (regionalmente se siguen registrando condiciones cálidas), así como a una baja actividad fotoquímica el cual haya sido un factor adicional para que las concentraciones de ozono se hayan mantenido similares o disminuido ligeramente con respecto al mes anterior. A esto se le añade el flujo de vientos provenientes del noroeste y oeste (a nivel de 70 hPa), los cuales, en cierta manera, han aportado concentraciones de ozono hacia nuestras latitudes, un poco menores al mes de mayo. Un factor que interactúa con estos procesos es la humedad atmosférica, el cual ha continuado disminuyendo con respecto al mes pasado a nivel de estratósfera baja principalmente. En las demás capas de la estratósfera media y alta han sido muy bajos.

Al igual que la información de superficie, lo que proviene de los satélites es muy importante ante la falta de cobertura por parte de los primeros. En ese sentido, al realizar la comparación de los datos de ozono atmosférico provenientes de los satélites AURA (Plataforma OMI) y SUOMI (Plataforma OMPS) con lo registrado en

\*\*\*\*\*

superficie, continúa observándose un desfase entre ellos. Con respecto a la información proveniente del AURA/OMI, durante el 52% de días del mes de junio, los valores de ozono diario medidos estuvieron por debajo de lo registrado por el Espectrofotómetro Dobson. Para el caso de SUOMI/OMPS, ocurre lo mismo, durante el 53% de días del mes estuvieron por debajo de lo registrado en superficie. Figura 4.

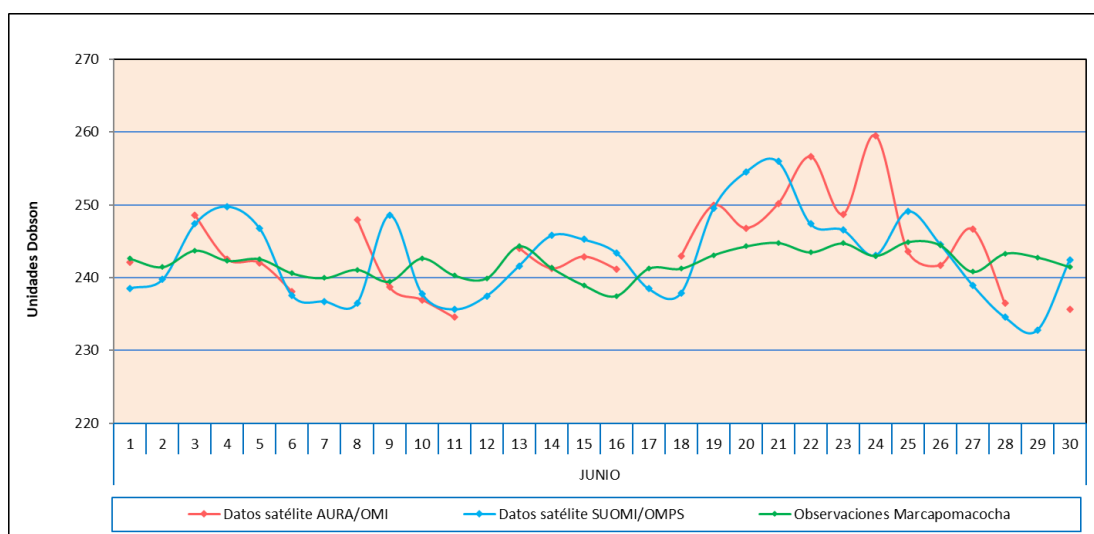
De este análisis podemos decir que la información proveniente de estos dos satélites es ligeramente menor, en gran parte del mes, a lo registrado por el Espectrofotómetro Dobson, cuando anteriormente eran superiores. Existen días donde las diferencias entre los valores registrados por el satélite y el medido en superficie, son bastante altas en el orden de 1 a 11 UD como producto del tipo o forma de medición que realiza el satélite, así como por factores de circulación atmosférica.

Cabe mencionar, que la tendencia de las concentraciones de ozono medidos en superficie ha registrado un ligero decremento durante el mes, debido a la circulación de los vientos en la atmósfera (del segundo y tercer cuadrante), así como a moderados procesos fotoquímicos, mientras que los medidos con los satélites, también mostraron esa tendencia, pero muy ligeramente.

El pronóstico, de acuerdo a la climatología, es que las concentraciones de ozono empiecen a incrementarse hasta el mes de setiembre debido al incremento de flujos con transporte de ozono, así como a un incremento del régimen térmico en la estratósfera baja.

**FIGURA N°4**

**Comparación de información proveniente de las plataformas OMI y OMPS con lo registrado en superficie, en el OVA Marcapomacocha.**



\*\*\*\*\*

## Perfil Vertical de Ozono Atmosférico

Por lo general, el 10% de la concentración de ozono se encuentra en la tropósfera y el otro 90% en la estratósfera. En ese sentido, cobra vital importancia monitorear el comportamiento vertical de este gas en diferentes niveles de la atmósfera para conocer su variabilidad en el tiempo y poder relacionarlos con posibles cambios en los sistemas atmosféricos característicos de la región (cambios en la transferencia radiativa o circulación de los vientos). En los últimos 40 años el uso de las sustancias agotadoras de ozono empezó a disminuir para dar paso al uso de sustancias sustitutas, los cuales al fin y al cabo destruyen el ozono atmosférico, pero en menor cantidad. Actualmente es notoria, la emisión de gases de efecto invernadero los cuales tienen efecto en el comportamiento del ozono principalmente en la baja estratósfera debido a los efectos de la dinámica atmosférica, así como de las reacciones fotoquímicas. Se suma a ello las implicancias que pudiera tener, en las concentraciones de ozono, la erupción del volcán Hunga Tonga, explicado en párrafos anteriores.

Según la OMM (Organización Meteorológica Mundial), desde el año 2000 hasta el 2020 se han observado por medio de mediciones del perfil vertical de la atmósfera y el desarrollo de modelos numéricos, una disminución en las concentraciones de ozono (~2% por década) en la estratósfera baja de la región tropical (20°S – 20°N), asimismo en la estratósfera media algo parecido para finalmente en la estratósfera superior un aumento de 2% por década.

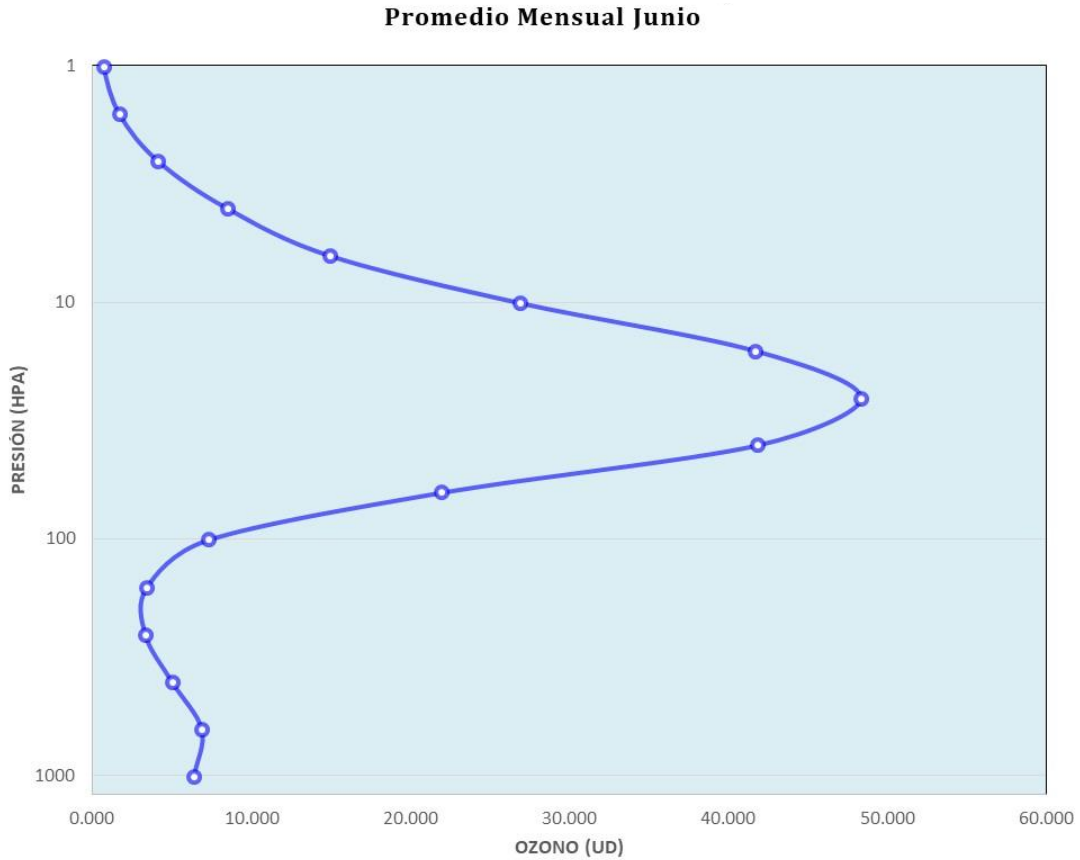
Teniendo en cuenta lo descrito líneas arriba y de acuerdo a la figura 5, obtenido de la National Aeronautics and Space Administration – NASA, plataforma OMPS, se ha podido observar el comportamiento típico del perfil vertical de ozono para el mes de junio en el OVA Marcapomacocha.

A nivel de tropósfera generalmente, las concentraciones de ozono disminuyen con la altura, para luego a nivel de estratósfera sufrir un aumento ostensible debido al incremento de la temperatura. En la estratósfera alta empiezan a disminuir en forma paulatina. El gráfico presentado es para remarcar que las mayores concentraciones de ozono se registran en esta segunda capa de la atmósfera. Se observa que las concentraciones de ozono son algo similares a lo observado en el mes pasado, de acuerdo al perfil mostrado. Las concentraciones mayores las encontramos en la media estratósfera con valores entre 38 UD a 48 UD.

\*\*\*\*\*

**FIGURA N°5**

**Perfil vertical de ozono atmosférico – OVA Marcapomacocha**  
Fuente: National Aeronautics and Space Administration – NASA



Según información de perfil vertical de ozono atmosférico para un día típico del mes de junio (día 19) 2025 obtenida por Metop-C/GOME-2, muestra para el hemisferio norte concentraciones menores al mes pasado, cuyos valores han oscilado entre 15 UD y 27 UD, entre la alta tropósfera y media estratósfera (el área de cobertura latitudinal de estas concentraciones moderadas se dio entre 45N°-90°N). Cabe mencionar que, desde el 21 de junio, dicho hemisferio, se encuentra en la estación de verano, registrándose concentraciones de ozono consideradas como bajas en latitudes altas, con tendencia a mantenerse debido a la presencia de vientos del este y noreste. Por otro lado, el régimen de temperaturas en la estratósfera baja y media se ha incrementado y se ha mantenido similares a sus valores normales durante el mes.

Se debe tener presente que, en la región tropical, se forma la mayor cantidad de ozono siendo incluso mayores a los formados en latitudes medias y altas de ambos hemisferios, pero debido a factores de circulación regional como el de Brewer-Dobson, la Oscilación Quasi Bienal, así como de procesos de reacciones fotoquímicas y térmicas, en la estratósfera media son redistribuidas hacia latitudes

\*\*\*\*\*

medias y altas de ambos hemisferios, permitiendo una disminución de la misma. El problema se ahonda cuando se registra mayor contenido de humedad, especialmente cuando se inicia la temporada de lluvias entre los meses de noviembre y marzo.

Asimismo, la altura de las concentraciones de ozono (12 UD a 23 UD) en latitudes bajas del hemisferio norte fue de 70 hPa y 8 hPa, mientras que en latitudes bajas del hemisferio sur (14 UD a 23 UD) la altura fue de 60 hPa y 8 hPa. En latitudes medias del hemisferio sur más bien se registraron concentraciones algo parecidas, pero con valores entre 18 UD y 23 UD, pero a una altura entre 80 hPa y 10 hPa. La altura tanto en latitudes bajas y medias del hemisferio sur han continuado siendo inferiores al mes pasado.

En esta temporada, las concentraciones de ozono, por lo menos en esta parte de la región tropical, han registrado valores similares con tendencia al descenso, por factores de circulación de vientos mayormente zonales positivos y cuasi meridionales, a nivel de 70 hPa), pero también a vientos del noroeste, aunados a los posibles efectos de las concentraciones de vapor de agua emitidas por el volcán submarino Hunga Tonga en enero de 2022.

Para el caso de nuestro país, concentraciones de ozono relativamente bajas se han registrado entre los 50 hPa y 10 hPa con valores entre 13 UD y 22 UD, especialmente en la región central y sur del país, mientras que, en la sierra norte, las concentraciones oscilaron entre 15 UD y 23 UD a una altura de 50 hPa y 10 hPa.

En los primeros niveles de la atmósfera (tropósfera) si bien es cierto que las concentraciones de ozono son bajas (oscilan, generalmente, entre 1 UD y 10 UD), esto se debe a los efectos residuales de la formación del ozono del día anterior, así como también a otros procesos físico-químicos. En la estación de verano austral, estos procesos son intensos debido al incremento de la actividad solar, mientras que en invierno disminuyen.

Debe considerarse que la forma que adquiere la distribución vertical es típica en la atmósfera, sabiendo que las concentraciones pueden variar de acuerdo a la latitud, estación astronómica, condiciones meteorológicas, así como al efecto que tienen los gases de efecto invernadero, especialmente en la estratósfera baja aunados últimamente con la disminución del vapor de agua, debido a la consideración descrita en párrafos anteriores. Figura 6.

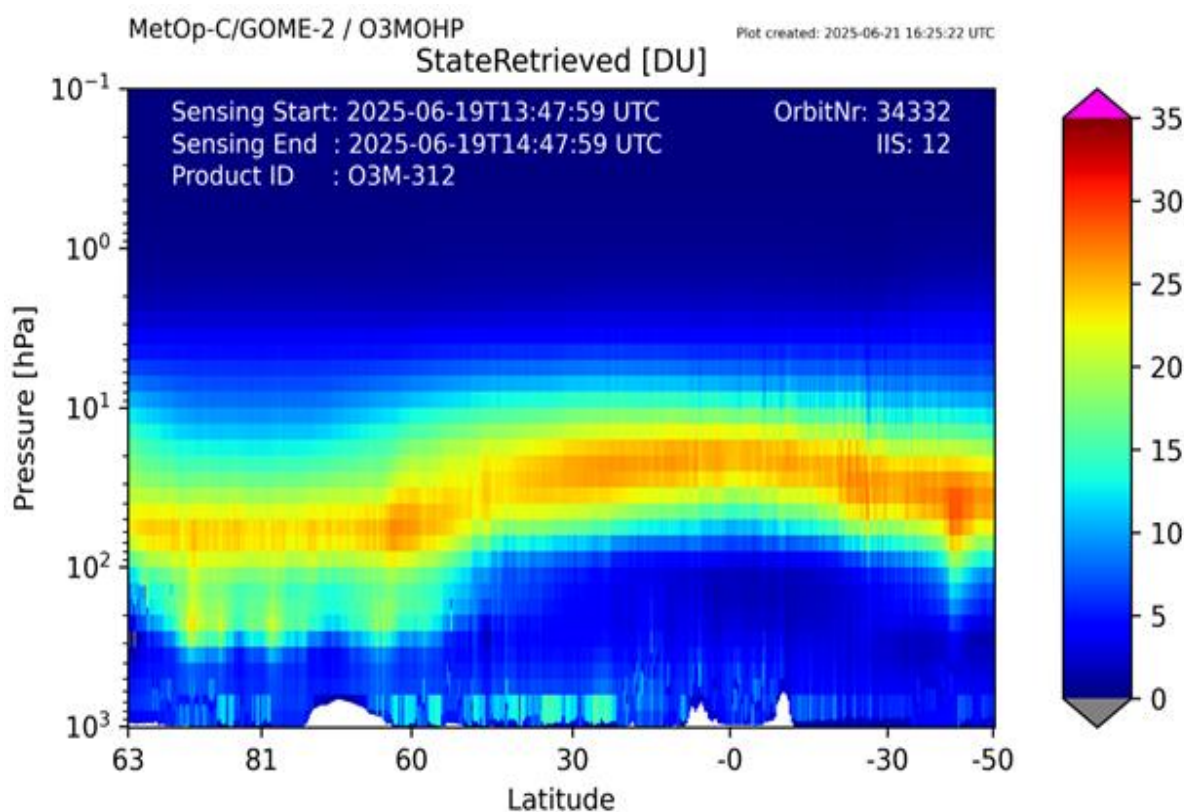
A la fecha se ha registrado en la región tropical, una circulación de viento mayormente del noroeste y oeste, pero también se han registrado vientos del noreste y sureste los cuales han sido esporádicos aportando concentraciones bajas de ozono sobre nuestras latitudes, permitiendo que las concentraciones de ozono se mantengan similares al mes anterior. Cabe mencionar que el hemisferio norte ingresó a un periodo más cálido, dado el inicio de la estación de invierno, motivo

\*\*\*\*\*

por el cual tanto los procesos físicos como químicos llegan a tener una mayor actividad fotoquímica permitiendo una cierta disminución en las concentraciones de ozono (mayor destrucción del ozono aunados con las sustancias que agotan el ozono).

**FIGURA N°6**

Perfil vertical de Ozono según GOME-2



**VAPOR DE AGUA A 46 hPa**

La estratósfera es una capa relativamente seca comparada con la tropósfera, solo se ha podido registrar que, en la capa baja de la misma, hay poca humedad.

En función a lo mencionado, se debe tener conocimiento, que durante los días 13 y 15 de enero de 2022, se registró una erupción volcánica en el mar del Pacífico Sur, emitiendo grandes cantidades de aerosoles a la atmósfera. Tanta fue la potencia de la erupción que llegó hasta alturas que sobrepasaron la estratopausa, inyectando partículas y gases como el SO<sub>2</sub> (dióxido de azufre), HCl (cloruro de hidrógeno o ácido clorhídrico) y vapor de agua. Es bastante probable que los efectos, en las concentraciones de ozono, se vean con el transcurrir de años, aunque ya hay indicios en el adelanto o retraso de la aparición del vórtice polar (hemisferio sur), así como variaciones en las concentraciones de ozono en la región tropical.

\*\*\*\*\*

Tanto el vapor de agua como los aerosoles permiten la reflexión de la radiación solar directa al espacio, si estos existieran en cantidades considerables permitiría un enfriamiento en la superficie de la tierra.

El vapor de agua genera calentamiento en la tropósfera y enfriamiento en la estratósfera y esto permitiría un cambio en las concentraciones de ozono y por ende su impacto en el balance de transferencia radiativa.

A nivel global se viene registrando un periodo bastante cálido, como consecuencia de la emisión de los gases de efecto invernadero, que permiten retener el calor almacenado en la atmósfera y por ende concentraciones moderadas a altas de humedad relativa, los cuales tienen repercusión en las concentraciones de ozono. Para el caso de nuestro país las condiciones atmosféricas van ingresando a una etapa menos cálida debido a factores meteorológicos, astronómicos, así como los oceanográficos (anomalías negativas de la temperatura de agua de mar, en gran parte del litoral, con excepción de Piura) los cuales interactúan entre sí y llegan a condicionar el régimen térmico a nivel de alta tropósfera como de baja estratósfera.

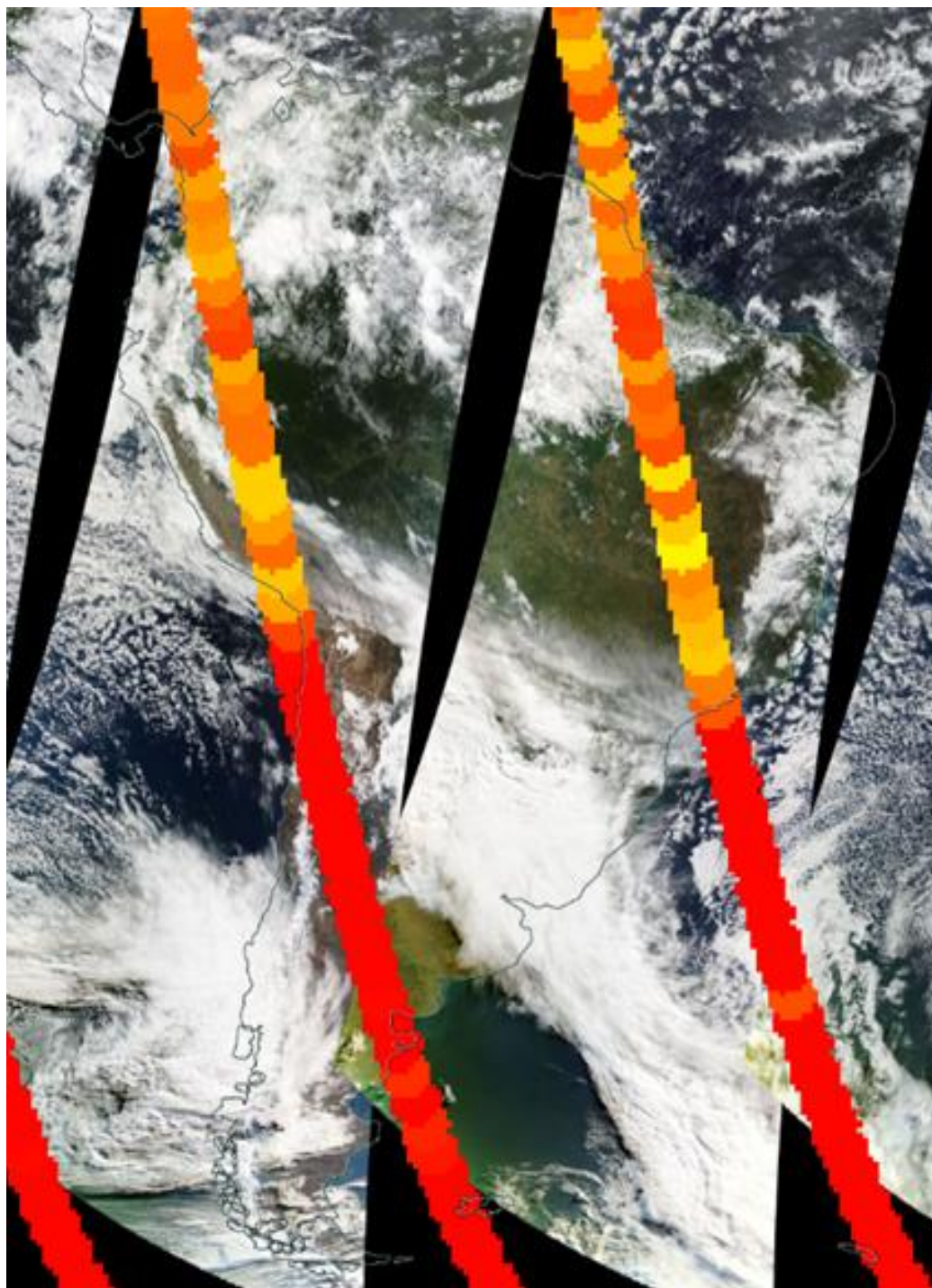
En la figura 7 se observa un mapa con concentraciones de vapor de agua a nivel de 46 hPa (límite entre la estratósfera baja y media) para un día típico del mes (14 junio 2025), obtenida de la Earth Data de la National Aeronautics Space Administration - NASA. En ella se observa sobre Perú, concentraciones de vapor de agua todavía moderadas (aunque algo superior al mes pasado) especialmente en la región norte y sur del país, con una tendencia a disminuir en el mes siguiente. Por ejemplo, en la región norte del país, las concentraciones de vapor de agua oscilaron entre 3.80 ppmv a 3.85 ppmv, mientras que en la central valores similares a los del norte. En la región sur del país, concentraciones entre 3.75 ppmv y 3.80 ppmv (ligeramente mayores al mes pasado). La influencia de la temporalidad o mejor dicho el cambio de estación hacia el invierno, influye grandemente en las concentraciones de vapor de agua que se puedan registrar en dicha capa, aunados a los vientos del noroeste y oeste (70 hPa), permitiendo una ligera disminución de las concentraciones de ozono atmosférico en esta región. Esta disminución muy ligera, también está asociado a otros factores como una baja relación de mezcla.

\*\*\*\*\*

**FIGURA N°7**

Vapor de Agua a 46 hPa

Fuente: Earth Data de la National Aeronautics Space Administration – NASA



\*\*\*\*\*

Cabe señalar que la humedad relativa es la cantidad de humedad que hay en un lugar con relación a la que habría si el aire estuviera completamente saturado de humedad, expresándose en porcentaje.

Utilizando información propia de altura, se puede mencionar que la humedad relativa al nivel de 100 hPa en la región central del Perú (departamento de Junín), en el mes de junio fue de 27%, mientras que a nivel de 70 hPa fue de 7%, a 50 hPa fue de 2%. Finalmente, en la parte media de la estratósfera, vale decir, 30 hPa, la humedad relativa fue de 1% y a nivel de 15 hPa también 1%. El contenido de humedad en la atmósfera tuvo un ligero decremento al nivel de 100 hPa. Desde el 21 de junio de 2025 se inició la estación astronómica de invierno generando todavía algunos procesos de convección en la atmósfera baja (traslado de humedad hacia la estratósfera) del hemisferio sur, lo cual tiene injerencia con las concentraciones de ozono que se registran en esta parte del país especialmente en la estratósfera baja.

## **COMPORTAMIENTO TEMPORAL DE LA CONCENTRACIÓN DE OZONO SOBRE EL PERÚ**

En cuanto al análisis de los mapas en forma diaria, del mes de junio, provenientes de la plataforma OMI del satélite AURA de la National Aeronautics and Space Administration – NASA (Figura 8), podemos mencionar que, para el caso de nuestro país, las concentraciones de ozono atmosférico, que muestra el mapa, continúan mostrando valores similares a lo registrado en el mes de mayo, pero con una ligera tendencia a la disminución, especialmente en la región norte y central donde las concentraciones de ozono fueron ligeramente menores comparado a otras regiones del país, debido a que los flujos del este, en niveles de 30 hPa y 10 hPa aportaron poca concentración de este gas. Tal como se explicó en párrafos anteriores, se ha continuado registrando un ligero descenso en la concentración de humedad en la baja estratósfera debido a los flujos de viento explicados anteriormente (del oeste), así como también una baja relación de mezcla, lo cual permitió un leve descenso de ozono atmosférico en esas capas. El periodo de lluvias sobre nuestro país terminó y por lo tanto los sistemas en la alta tropósfera serán los característicos de la estación de invierno, permitiendo climáticamente, condiciones similares a las del mes de mayo. Por el lado del Pacífico se registraron concentraciones de ozono moderados.

Durante gran parte del mes las concentraciones de ozono atmosférico registraron un leve descenso, especialmente en la región central y norte del país, debido a una baja relación de mezcla de ozono, así como a una menor actividad fotoquímica. Las concentraciones de ozono en la región central y norte oscilaron entre 225 UD y 245.0 UD, con una tendencia más bien a incrementarse en el mes siguiente para que guarde relación con el comportamiento climático por lo menos hasta el mes de setiembre, debido a la mayor presencia de vientos zonales positivos. Las

\*\*\*\*\*

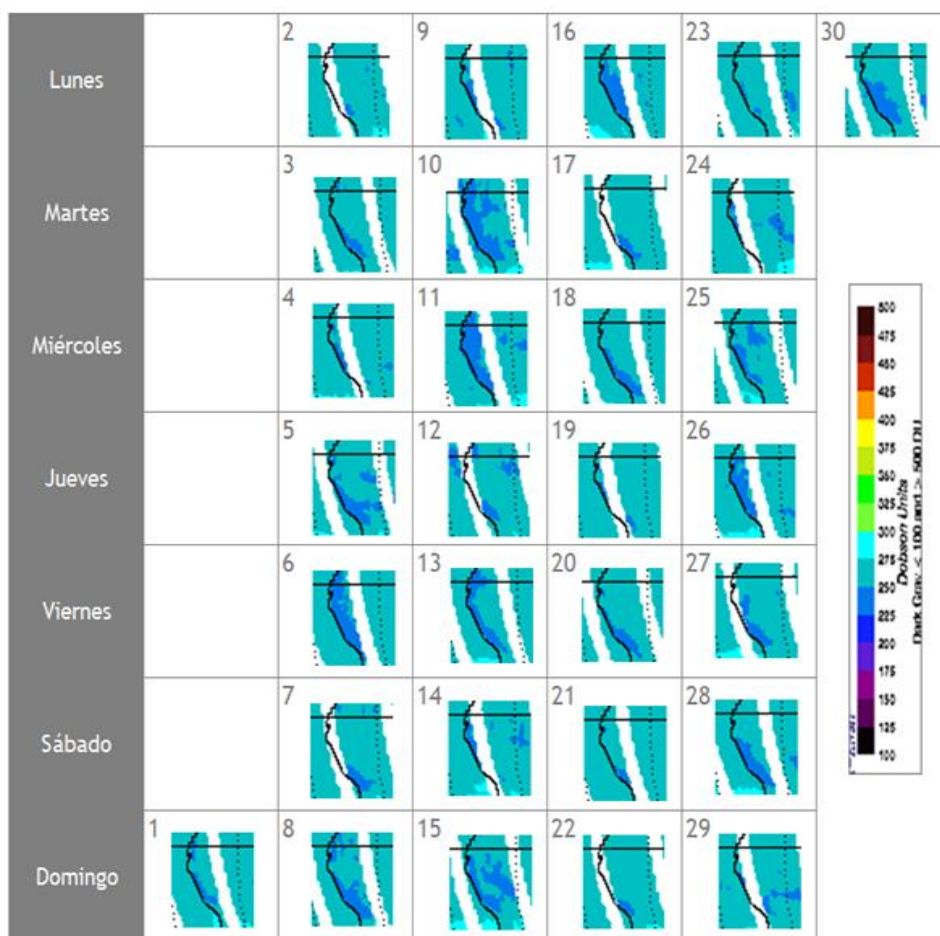
concentraciones de ozono fueron mayores en la región oriental del país con valores que han oscilado entre 250 UD y 275 UD.

Las mayores concentraciones de ozono atmosférico se encuentran en la estratósfera baja y media, por lo que es importante que haya una buena relación de mezcla, así como un incremento de la temperatura en esos niveles. En el mes de junio ocurrieron parte de ellos, permitiendo más bien que el ozono haya registrado un leve descenso por efecto de flujos de viento anteriormente mencionados, ocasionadas por la escasa presencia de núcleos anticiclónicos en latitudes bajas y medias del hemisferio sur los cuales permitieron el ingreso de vientos del este mayormente (estratósfera media) con una alta persistencia. Hay que considerar también que estos vientos aportan bajas concentraciones de ozono para nuestras latitudes. En este mes climáticamente, las concentraciones de ozono se mantienen similares a mayo, por lo que de acuerdo a los motivos expuestos en los párrafos anteriores se registró más bien un leve descenso.

**FIGURA N°8**

Mapa diario del ozono total atmosférico para el mes de junio 2025

Fuente: Satélite AURA



\*\*\*\*\*

## FLUJO DE VIENTOS EN LA BAJA Y MEDIA ESTRATÓSFERA

Una de las herramientas que ayuda a entender la mayor o menor concentración de ozono atmosférico sobre nuestras latitudes, específicamente sobre Perú es la información de viento en altura, especialmente el de la baja y media estratósfera. Por este periodo se considerará información proveniente del sur del país, dado de que la información proveniente del centro ha presentado una disrupción. En ese sentido, se analizará la información de viento proveniente de ese lugar con las características que se detallan a continuación. La estación se ubica en el departamento de Junín cuyas coordenadas son latitud: 11.9562°S, longitud: 75.3217°W a una altitud de 3,311.72 msnm. Cabe mencionar que la información brindada nos da bases para tener una idea de la relación de mezcla que pueda existir en las diferentes capas de la estratósfera.

### BAJA ESTRATÓSFERA

El flujo de vientos en el mes de junio al nivel de 100 hPa fue mayormente del segundo y tercer cuadrante, o sea del oeste mayormente y en menor proporción del noroeste y suroeste, los cuales siguen siendo influenciados por los flujos de 200 hPa y 150 hPa, con intensidades que oscilaron entre 9 m/s y 25 m/s con una persistencia de 92%. En otras direcciones la persistencia fue del 8% con una velocidad entre 5 m/s y 9 m/s. Cabe recalcar que climáticamente los flujos de viento en este nivel son mayormente zonales.

A nivel de 70 hPa los flujos de viento fueron también del segundo y tercer cuadrante (en mayor proporción), ósea vientos provenientes del noroeste, oeste y suroeste con velocidades que oscilaron entre 7.0 m/s y 25 m/s con una persistencia de 90%. En otras direcciones la persistencia fue de 10% con velocidades entre 5 m/s y 8 m/s.

En el nivel de 50 hPa los flujos de viento fueron variables, pero en su mayoría del oeste, noroeste, suroeste y sur, con una persistencia del 88% con velocidades entre 10 m/s y 14 m/s.

### MEDIA ESTRATÓSFERA

En el nivel de 30 hPa los flujos predominantes de viento fueron del este con una persistencia del 100%. Las velocidades de viento oscilaron entre 10 m/s y 22 m/s. Por otro lado, en otras direcciones fue nulo.

Finalmente, en el nivel de 15 hPa los flujos fueron en su totalidad del este, con velocidades que oscilaron entre 13 m/s y 31 m/s con una persistencia de 100%. En

\*\*\*\*\*

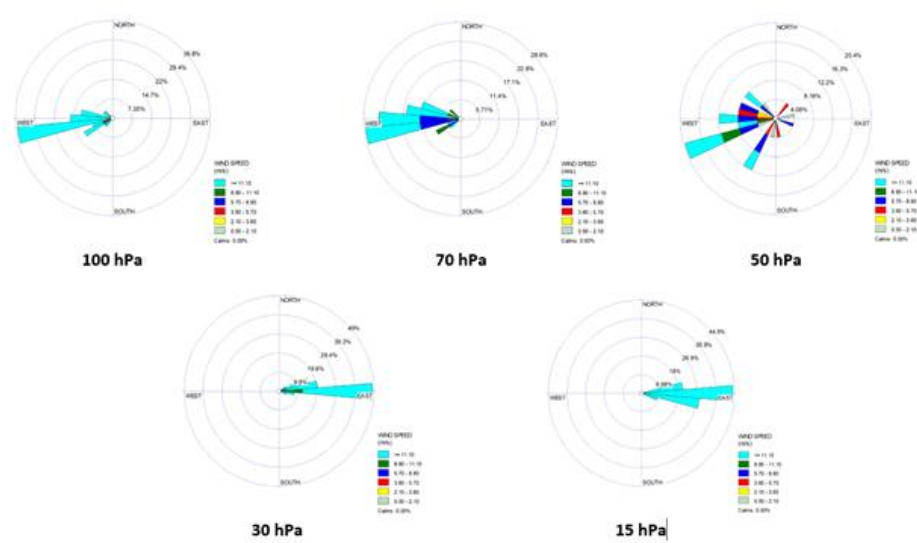
esta capa se registraron los mayores flujos de viento comparado a otras de la estratósfera media y baja.

Realizando una síntesis de este análisis, se podrá observar que los vientos provenientes del segundo, tercer y cuarto cuadrante han sido los más frecuentes tanto en la baja estratósfera como en la media (algo parecido al mes pasado), pero al mismo tiempo se han registrado vientos del noreste, pero bastante esporádico. Tal como se mencionó en párrafos anteriores, en el hemisferio sur, pero en latitudes bajas, no se registraron sistemas anticiclónicos, motivo por el cual los vientos sobre nuestro país han sido mayormente zonales con contenido de ozono bajo generando una ligera disminución en las concentraciones del mismo (comportamiento cercano a su normal climática). En esta temporada las concentraciones de ozono climáticamente, tienden a mantener o disminuir ligeramente, debido todavía a la moderada actividad fotoquímica en la alta atmósfera, así como a los flujos mencionados anteriormente. Se recalca que los flujos de vientos (intensidad y dirección) son muy importante en el traslado de altas o bajas concentraciones de ozono sobre nuestras latitudes.

En este mes se registró un moderado contenido de humedad atmosférica, pero con tendencia a la disminución, especialmente a nivel de 100 hPa (propio del inicio de la estación de invierno), mientras que en las otras capas de la estratósfera también empezaron a disminuir, los cuales en cierta manera permitieron un leve descenso del ozono atmosférico debido a la poca mezcla de ozono. La figura 9 muestra que los vientos son zonales mayormente, ósea vientos del oeste, noroeste y suroeste mayormente, los cuales sustentan los valores similares del ozono registrados principalmente en los niveles o capas de 100 hPa, 70 hPa y 50 hPa, sobre nuestras latitudes. Los escasos aporte de ozono se dan en la estratósfera media.

**FIGURA N°9**

**Comportamiento del viento en la baja y media estratósfera para el mes de junio 2025**



\*\*\*\*\*

## TEMPERATURA EN LA BAJA ESTRATÓSFERA Y MEDIA ESTRATÓSFERA

Finalmente es importante considerar que lo que pase en la atmósfera baja tiene, a veces, su impacto en la atmósfera alta o viceversa, y para poder entender la variabilidad del ozono atmosférico es importante conocer cómo es el comportamiento temporal de la temperatura en dichos niveles. Por ello se requiere analizar lo que pasa en la atmósfera alta y ver el comportamiento de las temperaturas en la estratósfera baja aproximadamente en los 70 hPa.

El que la temperatura aumente o disminuya en la estratósfera va a depender de las concentraciones de sustancias que agotan el ozono, así como de la estacionalidad y la circulación atmosférica, así como otros fenómenos que ocurren en forma casi periódica (Fenómeno El Niño o La Niña).

En la Figura 10 se muestra la distribución temporal de la temperatura desde el mes de enero 2024 hasta la primera quincena del mes de junio 2025, al nivel de 70 hPa y entre las latitudes 25°S – 25°N, obtenido de la National Weather Service de la National Oceanic and Atmospheric Administration – NOAA.

Durante los días de registro, la temperatura en ese nivel (línea de color rojo), registró un ascenso durante todo el mes y muy cercanos a sus valores climáticos (comportamiento similar al mes pasado). Este incremento estaría relacionado con la cada vez, menor cantidad de vapor de agua en la atmósfera (7%) en ese nivel, dándonos una idea de una atmósfera relativamente más “cálida”, tal como lo muestra la figura 10, permitiendo una cierta estabilidad (al compararlo con el mes de mayo) en las concentraciones de ozono atmosférico en dicha franja tropical, aunque con una ligerísima tendencia al descenso. El análisis de esa disminución de humedad es para la región central del país el cual afecta también a otros países de la región del hemisferio austral. Debido al comportamiento térmico del aire en ese nivel, las concentraciones de ozono, en la región central de nuestro país, tal como se mencionó, lograron registrar valores algo similares a nivel promedio mensual, con respecto al mes anterior, pero con una tendencia a la disminución. Durante el mes de junio, las temperaturas, observadas en las capas de la estratósfera baja tuvieron un comportamiento al ascenso y cercanos a sus valores climáticos como en el caso de la capa de 50 hPa, mas no así en la capa de 100 hPa, donde más bien estuvieron bastante alejados de su normal y por debajo de la misma. En lo concerniente a la estratósfera media, en la capa de 30 hPa, se registró un descenso de la temperatura, pero alejado a su valor normal, mientras que en 10 hPa se registró el mismo comportamiento, pero más alejado de su normal climática, también por debajo de su normal. A nivel de estratósfera alta las temperaturas en todas las capas, estuvieron por debajo, con una tendencia al descenso, motivando una cierta disminución de las concentraciones de ozono en esas capas debido a flujos de viento provenientes del este mayormente.

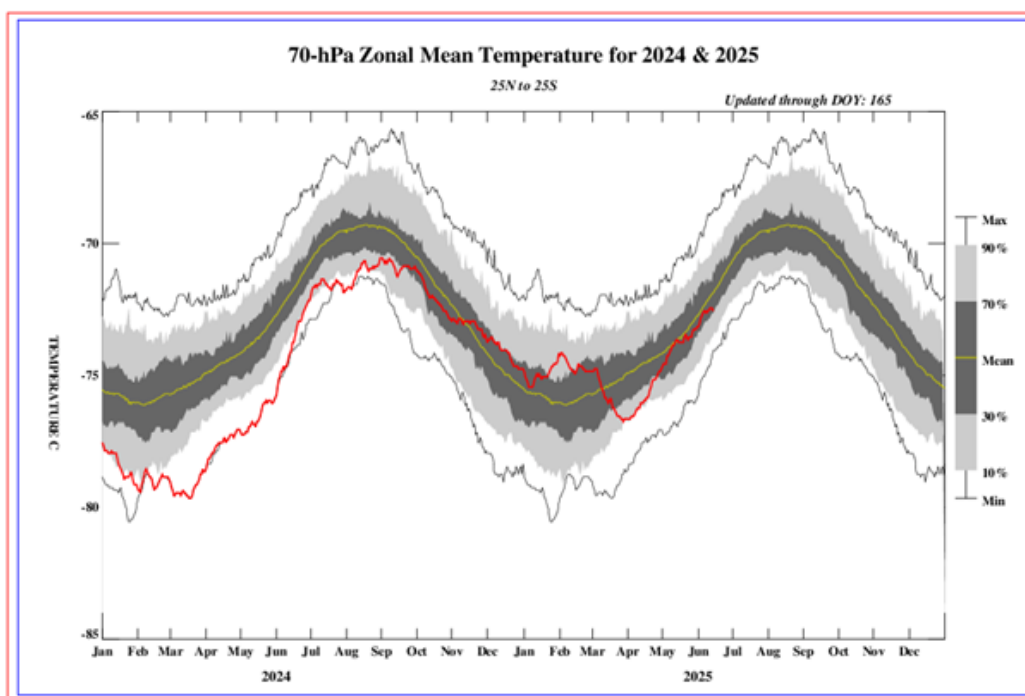
\*\*\*\*\*

La variabilidad de la concentración de ozono en el nivel de 70 hPa, asociado a los cambios en la temperatura es una consecuencia del movimiento de traslación de la tierra con respecto al sol, así como a procesos de transferencia radiativa y reacciones fotoquímicas. Se suma también, el proceso de la circulación Brewer-Dobson, la Oscilación Quasi Bienal, así como a circulaciones de viento regionales a nivel de alta atmósfera. Se agrega el impacto que tuviera la concentración de vapor de agua debido a la erupción del volcán submarino Hunga Tonga en enero del 2022, ya que permite enfriar la atmósfera en ese nivel afectando las concentraciones de ozono atmosférico. Por otro lado, hay que destacar el impacto que tiene la emisión de sustancias agotadoras de ozono (elementos sustitutos) hacia la atmósfera por parte del factor antropogénico. Se debe tener presente que, por lo general, un aumento (físico) de la temperatura en la atmósfera alta, está ligada con un aumento de las concentraciones de ozono y viceversa, los cuales tienen causales, valga la redundancia, físicos y químicos. El valor promedio mensual (1979-2017) de la temperatura en este nivel y para este mes es de  $-72.5^{\circ}\text{C}$ , menor en valor numérico al mes pasado, pero físicamente “más cálido”. La temperatura calculada en este mes, fue de  $-73.0^{\circ}\text{C}$ .

Debe recordarse que, durante el año, climáticamente se presentan dos mínimos de ozono, uno en el mes de enero y el otro entre los meses de mayo y junio (tal como se ha descrito en párrafos anteriores). En el presente mes, como ya anteriormente se ha mencionado, el promedio mensual registrado en superficie fue de 242.1 UD, ligeramente inferior al mes anterior.

**FIGURA N°10**

**Comportamiento de la temperatura en la baja estratósfera para el mes de junio 2025**  
 Fuente: National Weather Service, Climate Prediction Center (Web Site)



\*\*\*\*\*

Considerando la información de temperatura de la baja y media estratósfera del mes de mayo, proveniente de la estación de altura de Arequipa, podemos decir lo siguiente:

La temperatura a nivel de 100 hPa promedio mensual fue de  $-77.8^{\circ}\text{C}$ , mientras que a nivel de 70 hPa fue de  $-72.4^{\circ}\text{C}$ , valores relativamente distantes con una diferencia entre ellas, de  $5.4^{\circ}\text{C}$ . Entre las dos capas existen aproximadamente una distancia de 2 km permitiendo que haya una estrecha relación entre el límite de la alta tropósfera y la baja estratósfera en cuanto a intercambio de energía, especialmente en esta parte de la región tropical. Ver Figura 11.

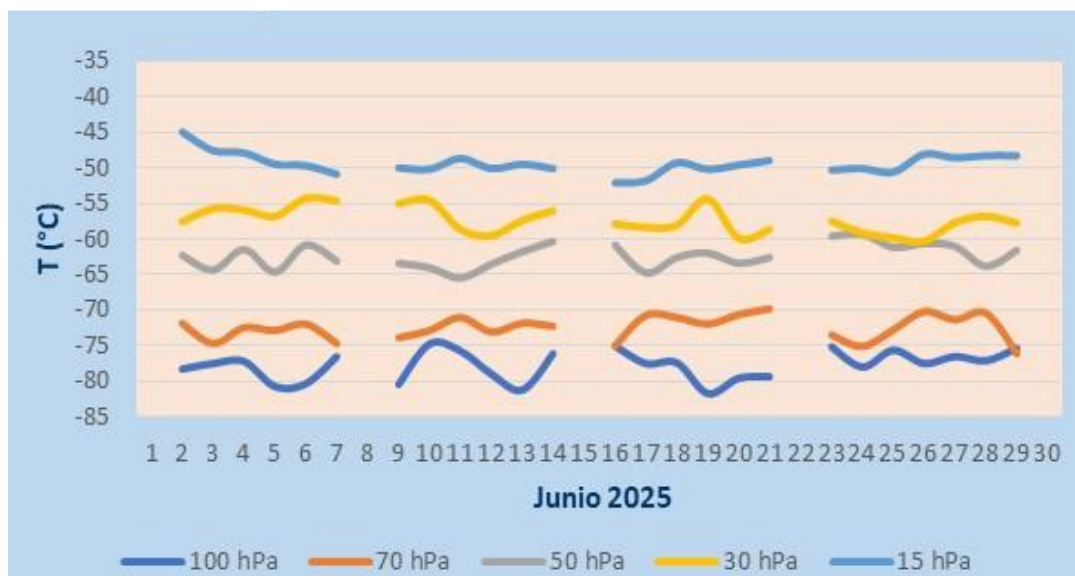
A nivel de 50 hPa, la diferencia es más notoria con una temperatura promedio del mes de  $-62.4^{\circ}\text{C}$  (atmósfera relativamente cálida comparado al mes anterior).

En la media estratósfera, a 30 hPa, la temperatura promedio registrada fue de  $-57.3^{\circ}\text{C}$ , para finalmente, a 15 hPa, la temperatura fuera de  $-49.3^{\circ}\text{C}$ . La relación de mezcla de ozono en esta capa ha sido relativamente baja.

Cabe destacar que la temperatura promedio mensual a nivel de 70 hPa obtenida por la NOAA ( $-73.0^{\circ}\text{C}$ ) y la obtenida por un equipo de altura ( $-72.4^{\circ}\text{C}$ ), valores bastante cercanos. Hay que tener en cuenta que la información de NOAA es promedio de la faja  $25^{\circ}\text{N}$  y  $25^{\circ}\text{S}$ , mientras que el registrado en la región sur del país es puntual.

En ese sentido, la tendencia del régimen térmico durante el mes, fue por lo general a un continuo calentamiento.

**FIGURA N°11**  
Régimen térmico en la baja y media estratósfera de Junín



\*\*\*\*\*

El comportamiento de temperaturas en el nivel de 70 hPa considerando todo el hemisferio sur en un día típico de junio, es mostrado en la Figura 12 (University of Wyoming) en donde se aprecia que las temperaturas, específicamente, en el continente Antártico han registrado mayormente valores de  $-82^{\circ}\text{C}$ , debido a condiciones muy “frías” por efecto del inicio de la estación astronómica de invierno. Las temperaturas en dicho continente continuarán con un descenso en los siguientes meses debido al cambio de flujos de viento que vienen dando continuidad a la formación del vórtice polar (manchas de color morado).

Cabe remarcar que la posición de la tierra con respecto al sol (inclinación con respecto al plano ecuatorial) juega un papel importante en los procesos físico-químicos de la atmósfera. Asimismo, es importante señalar que aparte del factor astronómico, un incremento de la temperatura en ese nivel de la estratósfera (70 hPa) de la región tropical, se encontraría relacionada con un aumento en las concentraciones de ozono y viceversa, pero no es tanto así porque van a depender de otros factores que no están considerados en este boletín como por ejemplo la concentración de otras sustancias químicas en forma de gas.

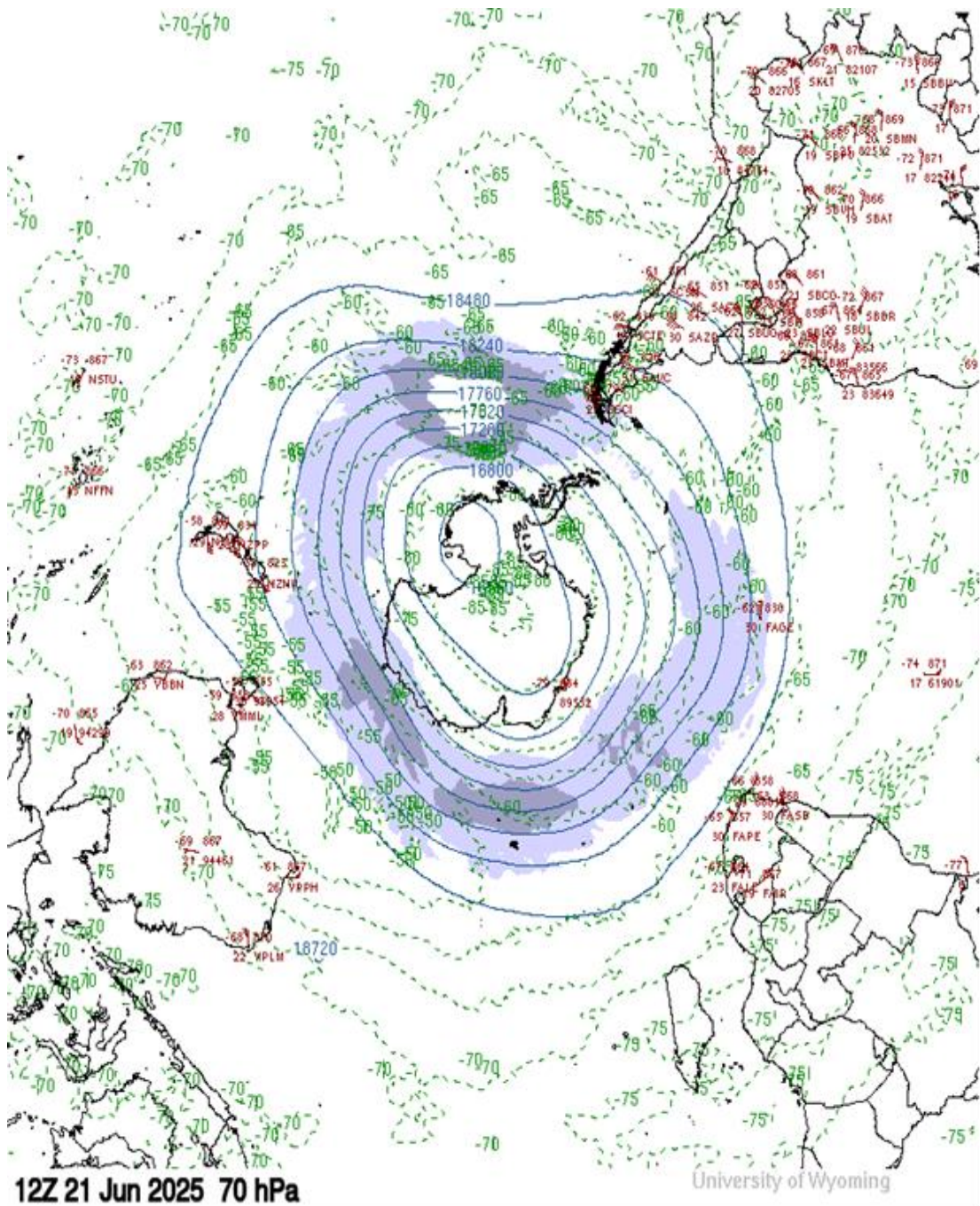
En latitudes bajas ( $20^{\circ}\text{N} - 20^{\circ}\text{S}$ ), las temperaturas en este mes, en la atmósfera alta (alta estratósfera), ha registrado un descenso, especialmente al nivel de 5 hPa, 2 hPa y 1 hPa, siempre por debajo de sus normales climáticas. Los procesos de transferencia radiativa cada vez vienen siendo menores debido al cambio de estación con la tendencia de seguir disminuyendo afectando también los niveles de radiación solar ultravioleta.

Para el caso de nuestro país las temperaturas en el nivel de 70 hPa, según el gráfico mostrado, ha registrado un valor de  $-72.0^{\circ}\text{C}$ , proceso físico ligeramente cálido comparado al mes pasado, siendo uno de los factores para que las concentraciones de ozono atmosférico, en esta capa, se hayan mantenido algo similares al mes anterior, por efecto de factores como los flujos de viento con direcciones del oeste y noroeste mayormente, aunados a una moderada relación de mezcla de ozono atmosférico a nivel de 70 hPa.

\*\*\*\*\*

**FIGURA N°12**

Comportamiento de la temperatura en 70 hPa para el hemisferio sur (21 junio 2025)



Fuente: Universidad de Wyoming

\*\*\*\*\*

### III. CONCLUSIONES

1. El mes de junio se caracteriza porque climáticamente las concentraciones de ozono (Columna total de ozono) sobre nuestro país (los medidos en superficie) son similares al mes de mayo. El promedio mensual fue de 242.1 UD, mientras que en el mes de mayo fue de 242.3, permitiendo concluir que los flujos de viento zonales positivos se han mantenido en la estratósfera baja mientras que en la estratósfera media fueron en su totalidad del este. El mismo comportamiento lo tuvo la estratósfera alta.
2. En cuanto a la variación temporal (promedio diario) de la concentración de ozono durante el mes, medidos con el espectrofotómetro Dobson en el OVA Marcapomacocha, oscilaron entre 237.5 UD a 244.9 UD, límites inferior y superior, ligeramente menores al mes anterior. Esta disminución, está ligado mayormente a la baja relación de mezcla del ozono en capas de la estratósfera, aunados a los flujos de viento provenientes del este tanto en la estratósfera media como baja.
3. Con respecto a la distribución vertical del ozono según información obtenida por el Metop-C/GOME-2, durante un día típico del mes de junio, se puede concluir que la máxima concentración de la misma, en la región tropical del hemisferio sur, se registró entre los 80 hPa y los 10 hPa (baja y media estratósfera) con valores que oscilaron entre 14 UD y 23 UD (ligeramente menor al mes anterior), mientras que en latitudes medias del hemisferio sur, la altura de las máximas concentraciones se dieron entre los 150 hPa y 10 hPa con valores entre 13 UD y 24 UD. La variabilidad en las concentraciones de ozono de este mes con respecto al de mayo, ha sido influenciada, en un primer momento, por vientos del oeste y noroeste (mayormente) y en un segundo momento por la continua disminución de la actividad fotoquímica (inicio de la estación de invierno).
4. El registro de concentraciones de ozono atmosférico en latitudes medias y altas del hemisferio norte, oscilaron entre 15 UD y 27 UD, entre la baja y media estratósfera 50 hPa y 10 hPa a lo largo de 45°N – 90°N). Durante el mes de junio se registraron procesos físicos de baja relación de mezcla de ozono de latitudes medias a altas, influenciados mayormente por los vientos del este y sureste, en algunos momentos del noreste, el cual permitió mantener concentraciones de ozono atmosférico bajas, mucho menores al mes anterior. A estos procesos se les suma la Oscilación Quasi Bienal (QBO) así como el impacto que ejerce la circulación Brewer-Dobson en esta parte del hemisferio.
5. La concentración de vapor de agua que se pueda tener en la estratósfera es importante para el balance radiativo de la atmósfera, así como para la

\*\*\*\*\*

variabilidad en el comportamiento del ozono. Sobre nuestro país, al nivel de 46 hPa, se observó un incremento con valores entre 3.80 ppmv y 3.85 ppmv, lo cual demuestra que, a pesar de encontrarnos en el límite superior de la estratósfera baja, se registran aun cantidades entre moderadas a bajas de vapor de agua, lo cual tiene incidencia en las concentraciones de ozono atmosférico. Cabe resaltar que concentraciones mayores, especialmente en la baja estratósfera, afectan grandemente el comportamiento espacial y temporal de este gas, sobre nuestras latitudes.

6. De acuerdo a la información real de viento obtenida para las diferentes capas de la estratósfera baja y media se concluye que uno de los factores que ha permitido, en general, los valores de ozono atmosférico algo similares al mes pasado, han sido los vientos mayormente del oeste y noroeste en la estratósfera media, mientras que en flujos del este en la estratósfera media y alta.
7. Los mapas de ozono total atmosférico (provenientes de la plataforma OMI del satélite AURA de la National Aeronautics and Space Administration – NASA), mostraron un comportamiento de ozono sobre nuestro país, ligeramente menores al mes pasado, especialmente en la región central y norte (costa y sierra), con valores que oscilaron entre 230 UD y 245 UD, como producto de la presencia de vientos provenientes del oeste y noroeste, así como del este.
8. En lo que concierne al comportamiento del régimen térmico en la baja estratósfera (70 hPa) considerando la faja 20°N – 20°S, se puede mencionar que el mes de junio, se caracterizó por registrar valores ligeramente mayores al mes pasado (físicamente “cálida”), guardando cierta relación con una cierta estabilidad y ligera tendencia al descenso en las concentraciones de ozono en superficie, así como los brindados por los satélites. Para un mejor análisis de este comportamiento se requiere considerar otros factores que no están definidos en el presente boletín, como por ejemplo otros gases con componentes químicos, circulación atmosférica, actividad fotoquímica.
9. Debido al comportamiento de la temperatura en las diferentes capas de la estratósfera, realizadas con equipos de altura sobre la sierra sur del Perú (departamento de Junín), se concluye que, en la estratósfera baja y media, las condiciones térmicas fueron más “cálidas” que el mes anterior debido a los flujos de viento zonales positivos y negativos, así como a una moderada a baja relación de mezcla de ozono atmosférico.
10. A medida que transcurren los días, la actividad fotoquímica se reduce debido al inicio de la estación de invierno.

\*\*\*\*\*

11. Se requiere disponer de información real de la concentración de ozono total a nivel del perfil vertical de la atmósfera a fin de realizar el contraste respectivo con lo obtenido por los satélites y determinar la desviación respectiva. En los periodos donde no se tenga información real, se podría utilizar el brindado por los satélites aplicando ciertos algoritmos de cálculo.

\*\*\*\*\*

**Dirección de Meteorología y Evaluación Ambiental Atmosférica:**

Ing. Julio Ernesto Urbiola del Carpio

[jurbiola@senamhi.gob.pe](mailto:jurbiola@senamhi.gob.pe)

**Subdirección de Evaluación del Ambiente Atmosférico:**

Ing. Elvis Anthony Medina Dionicio

[eamedina@senamhi.gob.pe](mailto:eamedina@senamhi.gob.pe)

**Análisis y Redacción:**

Ing. Orlando Ccora Tuya [occora@senamhi.gob.pe](mailto:occora@senamhi.gob.pe)

Bach. Juan Tacza Ordoñez

Tco. Rosalinda Aguirre Almeyda

Tco. Julia Astudillo Capcha

**Suscríbete para recibir la edición digital al enlace:**

**[https://forms.gle/cqZit9WHG7gLktbT6gle/cqZit9WHG7g  
LktbT6](https://forms.gle/cqZit9WHG7gLktbT6gle/cqZit9WHG7gLktbT6)**

**Próxima actualización: 15 de agosto de 2025**

**Servicio Nacional de Meteorología  
e Hidrología del Perú - SENAMHI**

Jr. Cahuide 785, Jesús María

Lima 11 - Perú

**Central telefónica: [51 1] 614-1414 anexo 444  
Subdirección de Evaluación del Ambiente  
Atmosférico**

